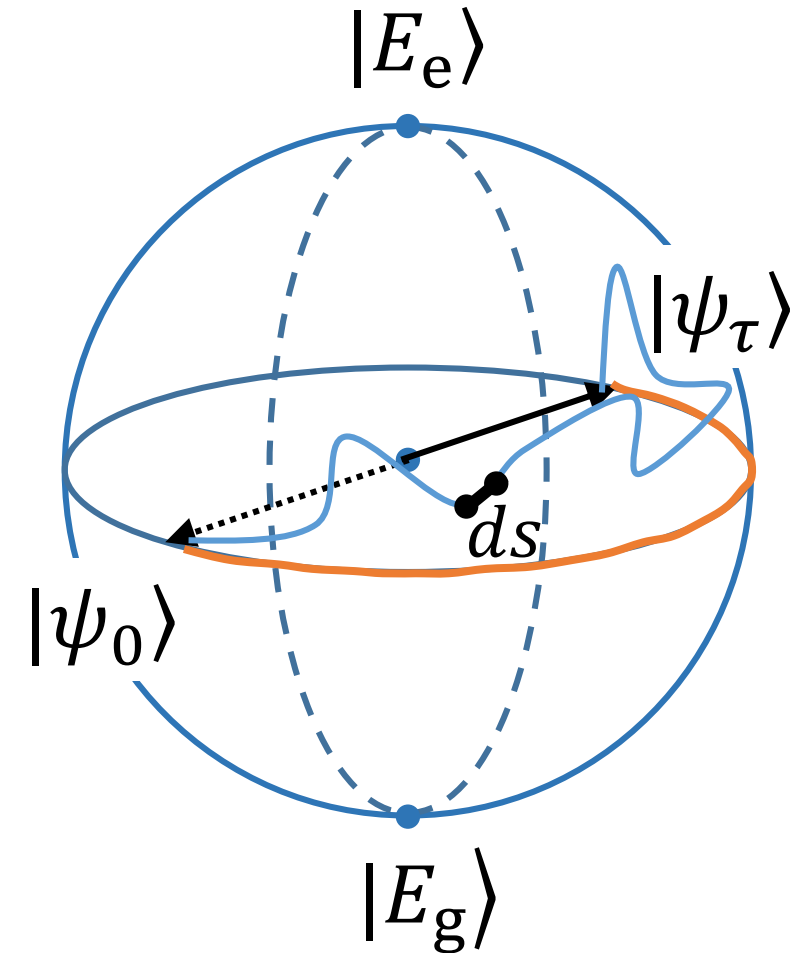


Quantum speed limitsと最近の話題

布能 謙 (北京大学)



quantum speed limits

- Mandelstam-Tamm bound (1945)

$$\tau \geq \frac{\pi \hbar}{2 \Delta H}$$

- Margolus-Levitin bound (1998)

$$\tau \geq \frac{\pi \hbar}{2 \langle H \rangle - E_g}$$

$|\psi(0)\rangle$ から直交する状態へと時間発展するために必要な最小時間

→ 量子計算との関連で近年注目を集めている

目次

- ハイゼンベルクの不確定性関係とQuantum speed limit
- Geometricなアプローチ
- 最近の進展
 - Classical speed limit
 - Shortcuts to adiabaticityへの応用

ハイゼンベルクの不確定性関係

$$\Delta x \Delta p \gtrsim \hbar \quad \text{and} \quad \Delta E \Delta t \gtrsim \hbar$$

Heisenberg, 1927

位置・運動量不確定性関係

- Robertsonの不等式: $\Delta A \Delta B \geq \frac{1}{2} |\langle [A, B] \rangle|$

Robertson, 1929

→ $\Delta x \Delta p \geq \frac{\hbar}{2}$

時間のオペレーター？

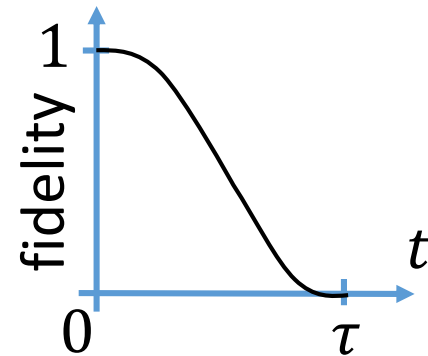
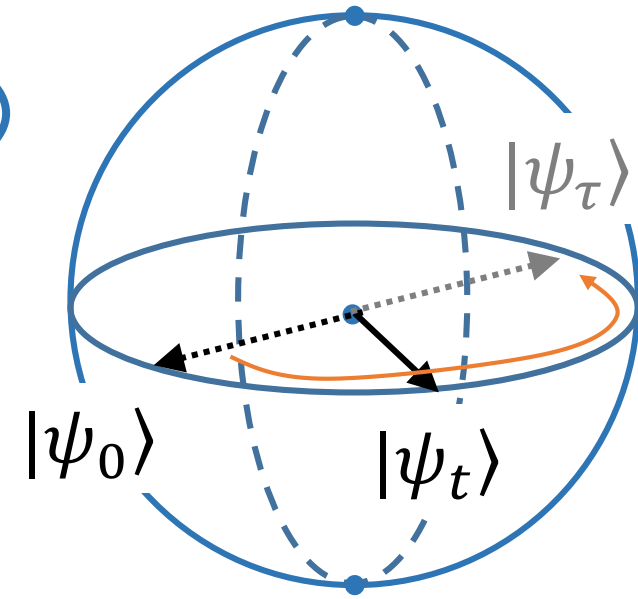
Mandelstam-Tammによる不確定性関係の導出

$$\Delta x \Delta p \gtrsim \hbar \quad \text{and} \quad \Delta E \Delta t \gtrsim \hbar$$

Robertsonの不等式: $\Delta A \Delta B \geq \frac{1}{2} |\langle [A, B] \rangle|$

$A = |\psi_0\rangle\langle\psi_0|, B = H$ を代入

- 初期状態: $|\psi_0\rangle$
- ハミルトニアン: H
- 時刻 τ で直交する状態へと変化: $\langle\psi_0|\psi_\tau\rangle = 0$



時間 \rightarrow 初期状態への射影によるオーバーラップ

Mandelstam-Tammによる不確定性関係の導出

Robertsonの不等式

$$\Delta H \Delta A_t \geq \frac{1}{2} |\langle [H, A] \rangle_t| = \frac{\hbar}{2} |\partial_t \langle A \rangle_t|$$

$$\begin{cases} A = |\psi_0\rangle\langle\psi_0| \\ \langle A \rangle_t = |\langle\psi_t|\psi_0\rangle|^2 \\ \Delta A_t = \sqrt{\langle A \rangle_t - \langle A \rangle_t^2} \end{cases}$$

$$\longrightarrow \Delta H \geq \hbar \left| \frac{\partial_t \sqrt{\langle A \rangle_t}}{\sqrt{1 - \langle A \rangle_t}} \right|$$

積分

$$\longrightarrow \frac{\tau}{\hbar} \Delta H \geq \cos^{-1} \sqrt{\langle A \rangle_\tau} - \cos^{-1} \sqrt{\langle A \rangle_0}$$

$$\longrightarrow \tau \geq \frac{\pi \hbar}{2 \Delta H} \quad \text{時間・エネルギー不確定性関係}$$

Mandelstam-Tammによる不確定性関係の導出

時間・エネルギー不確定性関係 Mandelstam and Tamm (1945)

$$\tau \geq \tau_{\text{QSL}} := \frac{\pi \hbar}{2 \Delta H}$$

- quantum speed limit (QSL)

任意の量子操作に対して操作時間の
普遍的な限界を与える

エネルギーゆらぎの大きさが孤立量子系での
状態変化のスピードを特徴づける

quantum speed limits

- Mandelstam-Tamm (MT) bound

$$\tau \geq \frac{\pi \hbar}{2 \Delta H}$$

- Margolus-Levitin (ML) bound

$$\tau \geq \frac{\pi \hbar}{2 \langle H \rangle - E_g}$$

$$\tau \geq \tau_{\text{QSL}} = \max \left\{ \frac{\pi \hbar}{2 \Delta H}, \frac{\pi \hbar}{2 \langle H \rangle - E_g} \right\}$$

最小時間はどうやって達成できるか？

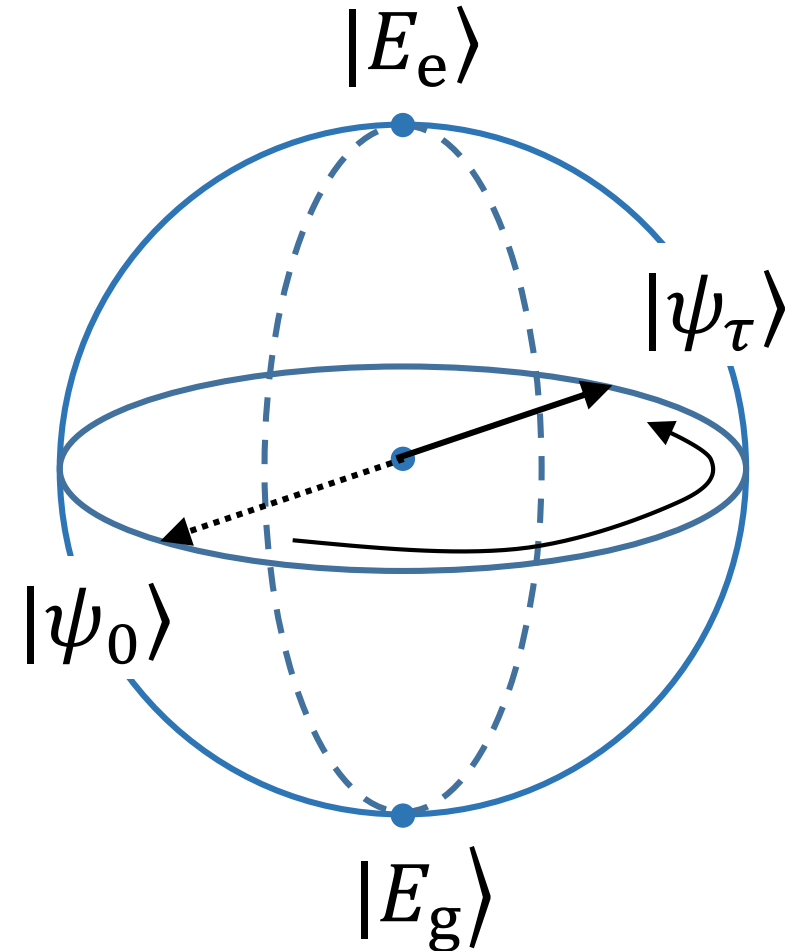
quantum speed limitsの等号成立条件

- 2 準位系を仮定

$$\begin{cases} |\psi_0\rangle = \frac{1}{\sqrt{2}} (|E_g\rangle + |E_e\rangle) \\ |\psi_\tau\rangle = \frac{1}{\sqrt{2}} (|E_g\rangle - |E_e\rangle) \end{cases}$$

最小時間を達成

$$\tau = \frac{\pi \hbar}{E_e - E_g} \stackrel{\text{(MT bound)}}{=} \frac{\pi \hbar}{2 \Delta H} \stackrel{\text{(ML bound)}}{=} \frac{\pi \hbar}{2 \langle H \rangle - E_g}$$



エネルギーゆらぎや期待値が大きいほど状態が速く回転する

等号成立条件と幾何学

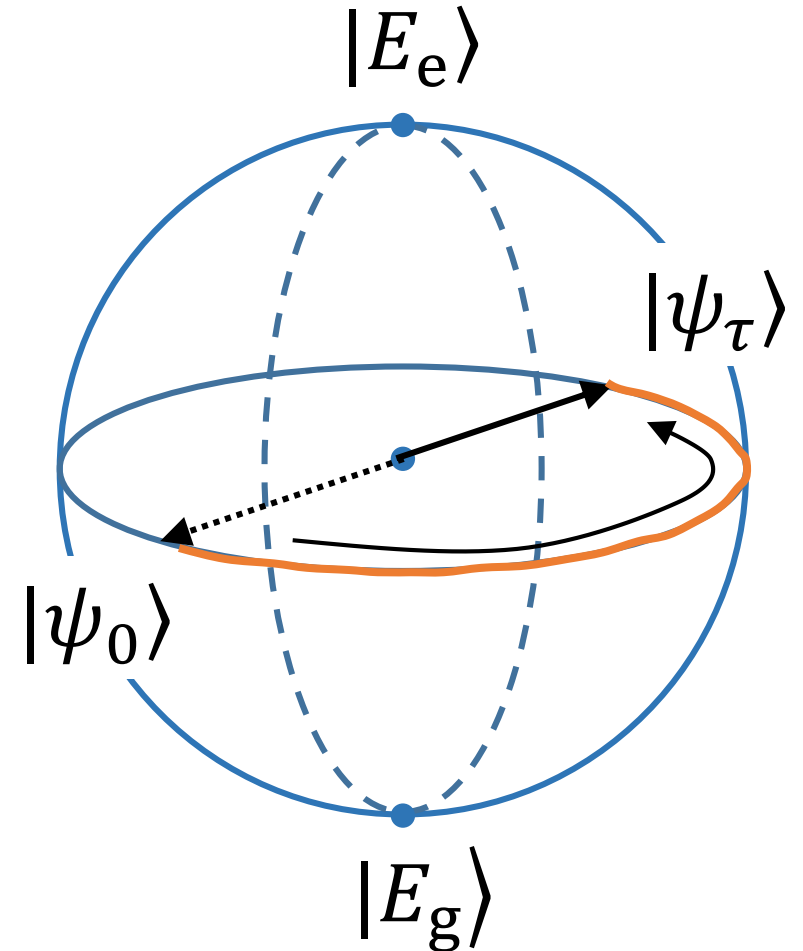
- qubitの状態 → ブロッホ球面上の点

$|\psi_0\rangle$ と $|\psi_\tau\rangle$ の間の**最小経路**
= **測地線**



最小時間を達成

$$\tau = \frac{\pi \hbar}{E_e - E_g} \stackrel{\text{(MT bound)}}{=} \frac{\pi \hbar}{2 \Delta H} \stackrel{\text{(ML bound)}}{=} \frac{\pi \hbar}{2 \langle H \rangle - E_g}$$



quantum speed limit と量子状態の幾何学の関係性を示唆

目次

- ハイゼンベルクの不確定性関係とQuantum speed limit
- Geometricなアプローチ
- 最近の進展
 - Classical speed limit
 - Shortcuts to adiabaticityへの応用

quantum speed limit: 幾何学的なアプローチ

quantum speed limit

$$\tau \geq \tau_{\text{QSL}} := \frac{\pi \hbar}{2 \Delta H}$$

- 純粋状態を仮定
- 時刻 τ で直交する状態へと変化した場合に限定
- 孤立量子系を仮定

→ 幾何学的なアプローチで統一的に一般化できる

状態間の距離

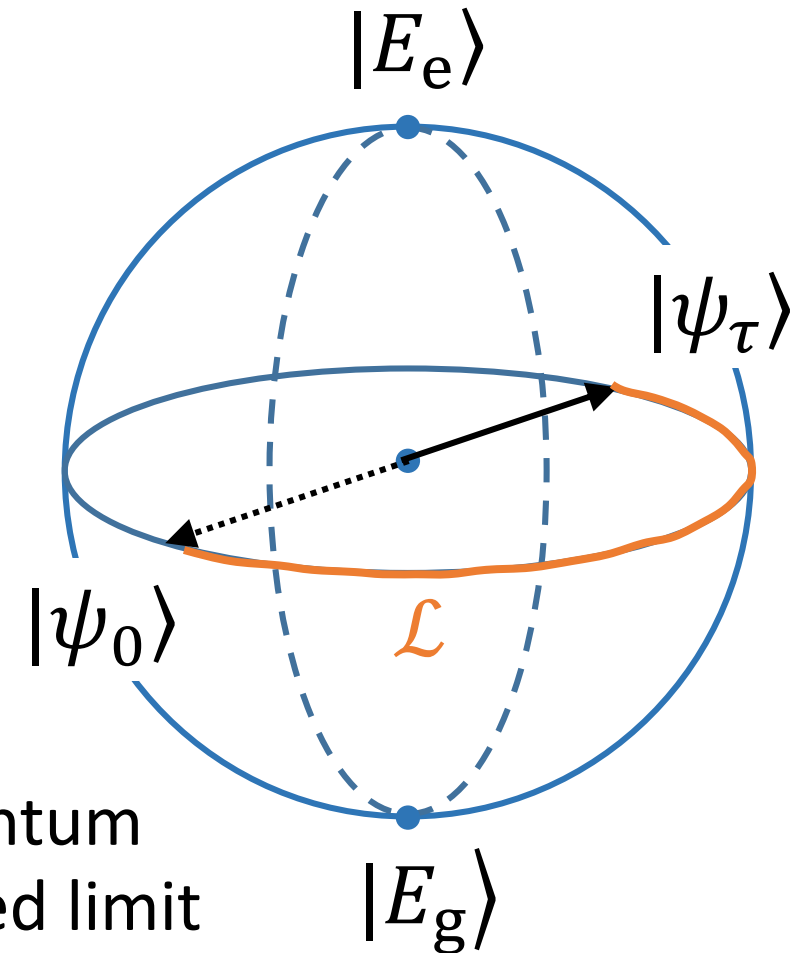
- $|\psi_0\rangle$ と $|\psi_\tau\rangle$ の間の距離

$$\mathcal{L}(|\psi_0\rangle, |\psi_\tau\rangle) = \cos^{-1} \sqrt{\mathcal{F}(|\psi_0\rangle, |\psi_\tau\rangle)}$$

- 状態のオーバーラップ (fidelity)

$$\mathcal{F}(|\psi_0\rangle, |\psi_\tau\rangle) := |\langle \psi_\tau | \psi_0 \rangle|^2$$

$ \psi_t\rangle$	初期状態	直交する状態
$\mathcal{L}(\psi_0\rangle, \psi_t\rangle)$	0	$\pi/2$
$\mathcal{F}(\psi_0\rangle, \psi_t\rangle)$	1	0



quantum
speed limit

$$\tau \geq \frac{\pi}{2} \frac{\hbar}{\Delta H}$$

quantum speed limitsと幾何学

最小時間を達成

$|\psi_0\rangle$ と $|\psi_\tau\rangle$ の間の測地線

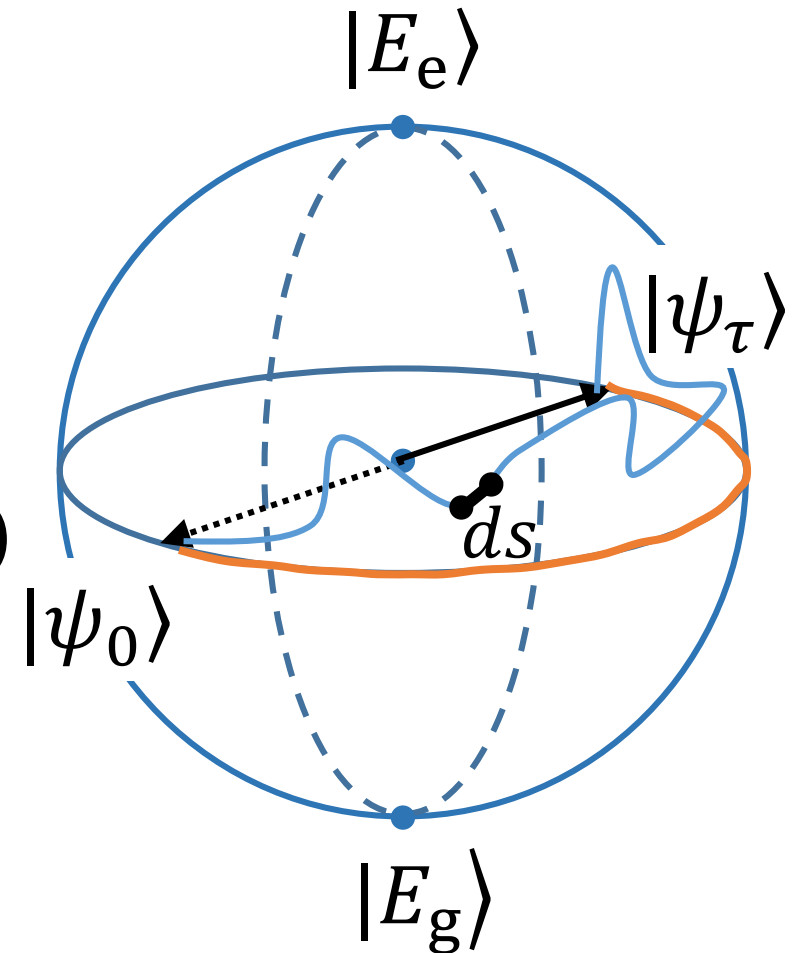
- 微小距離

$$ds = \mathcal{L}(|\psi_t\rangle, |\psi_{t+dt}\rangle) = \sqrt{g_{\text{FS}}} dt + O(dt^2)$$

- Fubini-Study metric

$$g_{\text{FS}} := \langle \partial_t \psi_t | (1 - |\psi_t\rangle\langle\psi_t|) | \partial_t \psi_t \rangle$$

時間の変化による状態の変化率 = 曲率



quantum speed limit の幾何学的な意味

$$\mathcal{L}(|\psi_0\rangle, |\psi_\tau\rangle) \leq \int dt \sqrt{g_{\text{FS}}} = \tau \cdot \frac{1}{\tau} \int v \cdot dt$$

↑
最短経路

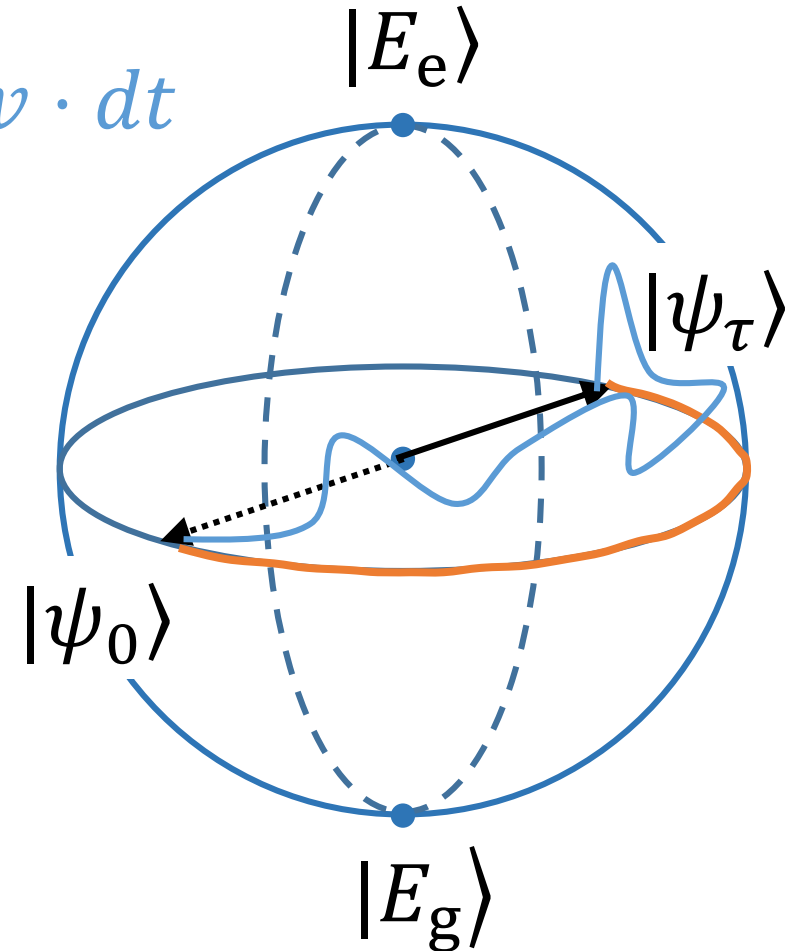
↑
状態が実際に移動した長さ

||

状態が移り変わるスピード $v = \sqrt{g_{\text{FS}}}$

geometric quantum speed limit

$$\tau \geq \frac{\mathcal{L}(|\psi_0\rangle, |\psi_t\rangle)}{\langle v \rangle_\tau}$$



Mandelstam-Tamm quantum speed limit の再導出

- Fubini-Study metric

$$g_{\text{FS}} = \langle \partial_t \psi_t | (1 - |\psi_t\rangle\langle\psi_t|) | \partial_t \psi_t \rangle$$

- Schrodinger equation

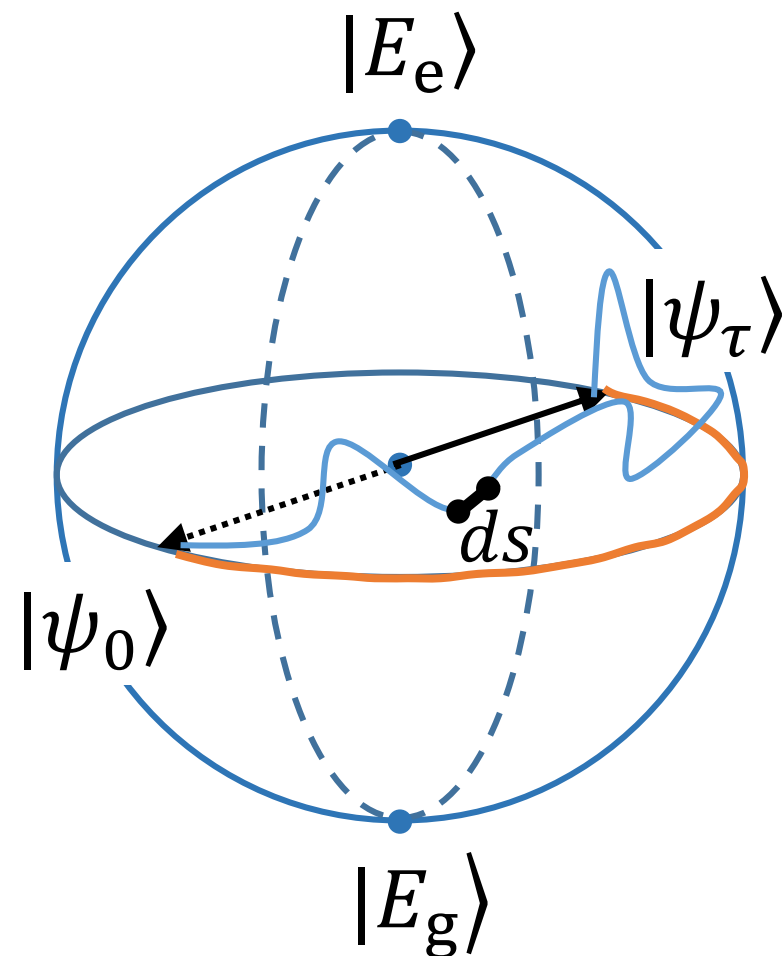
$$\partial_t |\psi_t\rangle = -\frac{i}{\hbar} H(t) |\psi_t\rangle$$

状態が移り変わるスピード

$$v = \sqrt{g_{\text{FS}}} = \frac{\Delta H(t)}{\hbar}$$

quantum speed limit

$$\tau \geq \frac{\mathcal{L}(|\psi_0\rangle, |\psi_\tau\rangle)}{\langle v \rangle_\tau} \rightarrow \tau \geq \frac{\mathcal{L}(|\psi_0\rangle, |\psi_\tau\rangle)}{\langle \Delta H \rangle_\tau}$$



quantum speed limits : 一般の場合

$$\mathcal{L} = \cos^{-1} \sqrt{\mathcal{F}} \leq \int dt \sqrt{g} = \tau \cdot \langle v \rangle_\tau$$

	状態のオーバーラップ $\sqrt{\mathcal{F}}$	曲率 g
純粋状態	fidelity: $ \langle \phi \psi \rangle $	Fubini-Study metric
混合状態	Uhlmann fidelity: $\text{Tr}[\sqrt{\sqrt{\rho}\sigma\sqrt{\rho}}]$ quantum affinity: $\text{Tr}[\sqrt{\rho}\sqrt{\sigma}]$	quantum Fisher information metric Wigner-Yanase information metric
古典確率分布	Bhattacharyya coefficients: $\sum_i \sqrt{p_i q_i}$	classical Fisher information metric


quantum speed limits: 一般の場合

$$\mathcal{L} = \cos^{-1} \sqrt{\mathcal{F}} \leq \int dt \sqrt{g} = \tau \cdot \langle v \rangle_\tau$$

	状態のオーバーラップ $\sqrt{\mathcal{F}}$	曲率 g
純粋状態	fidelity: $ \langle \phi \psi \rangle $	Fubini-Study metric
混合状態	Uhlmann fidelity: $\text{Tr}[\sqrt{\sqrt{\rho} \sigma \sqrt{\rho}}]$	quantum Fisher information metric Wigner-Yanase information metric
古典確率分布	Bhattacharyya distance $\sum_i \sqrt{p_i q_i}$	classical Fisher information metric

孤立量子系 (Schrodinger eq.) の場合エネルギーゆらぎと結びつく
→ Mandelstam-Tamm quantum speed limit の一般化

quantum speed limits : 一般の場合

$$\mathcal{L} = \cos^{-1} \sqrt{\mathcal{F}} \leq \int dt \sqrt{g} = \tau \cdot \langle v \rangle_{\tau}$$


時間発展のジェネレーターの情報

- Schrodinger equation
MT-type quantum speed limits
- quantum master equation
speed limits in open systems
- Liouville equation, etc.
classical speed limits

L. Mandelstam and I. Tamm, *J. Phys.* (1945)

G. N. Fleming, *Nuovo Cimento A* (1973)

J. Anandan and Y. Aharonov, *PRL* (1990)

A. del Campo, et. al., *PRL* (2013)

M. M. Taddei, et. al., *PRL* (2013)

S. Deffner and E. Lutz, *PRL* (2013)

S. Deffner, *NJP* (2017)

M. Okuyama and M. Ohzeki, *PRL* (2018)

B. Shanahan, et. al., *PRL* (2018)

目次

- ハイゼンベルクの不確定性関係とQuantum speed limit
- Geometricなアプローチ
- **最近の進展**
 - Classical speed limit
 - Shortcuts to adiabaticityへの応用

quantum speed limits の応用

- マルコフジャンプ過程の classical speed limit

S. Ito, arXiv:1712.04311, N. Shiraishi, et. al., arXiv:1802.06554

- 非マルコフ過程, 量子コヒーレンスの効果

- 量子計算、情報消去と speed limit

R. Gaudenzi, et. al., arXiv:1703.04607

- shortcuts to adiabaticity との関係

KF, et. al., PRL (2017)

A. C. Santos and M. S. Sarandy, Sci. Rep. (2015), S. Campbell and S. Deffner, PRL (2017)

- quantum metrology との関係

quantum speed limits の応用

- マルコフジャンプ過程の classical speed limit

N. Shiraishi, KF, K. Saito, arXiv:1802.06554

$$\tau \geq \frac{L(\mathbf{p}_0, \mathbf{p}_\tau)^2}{2\Sigma\langle A \rangle_\tau}$$

variation distance

$$L(\mathbf{p}, \mathbf{p}') = \sum_i |p_i - p'_i|$$

- エントロピー生成

熱力学プロセスの不可逆性を特徴づける量

- アクティビティ

状態がどれくらい頻繁に変化するかを特徴づける量

quantum speed limits の応用

- マルコフジャンプ過程の classical speed limit

S. Ito, arXiv:1712.04311, N. Shiraishi, et. al., arXiv:1802.06554

- 非マルコフ過程, 量子コヒーレンスの効果

- 量子計算、情報消去と speed limit

R. Gaudenzi, et. al., arXiv:1703.04607

- shortcuts to adiabaticity との関係

KF, et. al., PRL (2017)

A. C. Santos and M. S. Sarandy, Sci. Rep. (2015), S. Campbell and S. Deffner, PRL (2017)

- quantum metrology との関係

Universal work fluctuations along shortcuts to adiabaticity

in collaboration with:

Jin-Ning Zhang (Tsinghua University)

Cyril Chatou (Universite Paris)

Kihwan Kim (Tsinghua University)

Masahito Ueda (University of Tokyo, RIKEN CEMS)

Adolfo del Campo (Umass Boston)

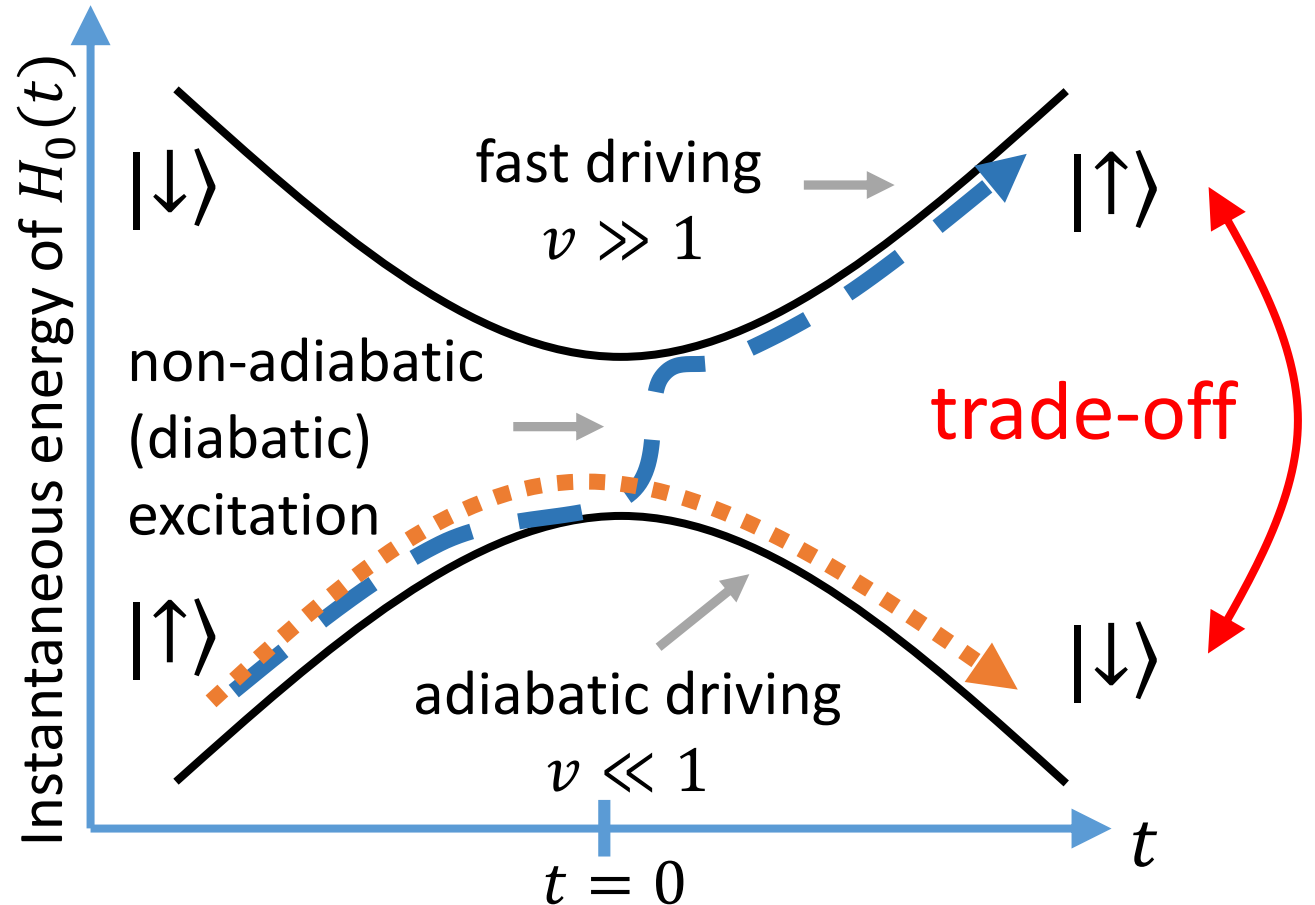
Funou, et al., *PRL* **118**, 100602 (2017)

Trade-off between efficiency and protocol time



ex. Landau-Zener
Hamiltonian

$$H_0(t) = \frac{vt}{2} \sigma_z + \frac{\Delta_0}{2} \sigma_x$$



Quantum adiabatic dynamics in a finite time

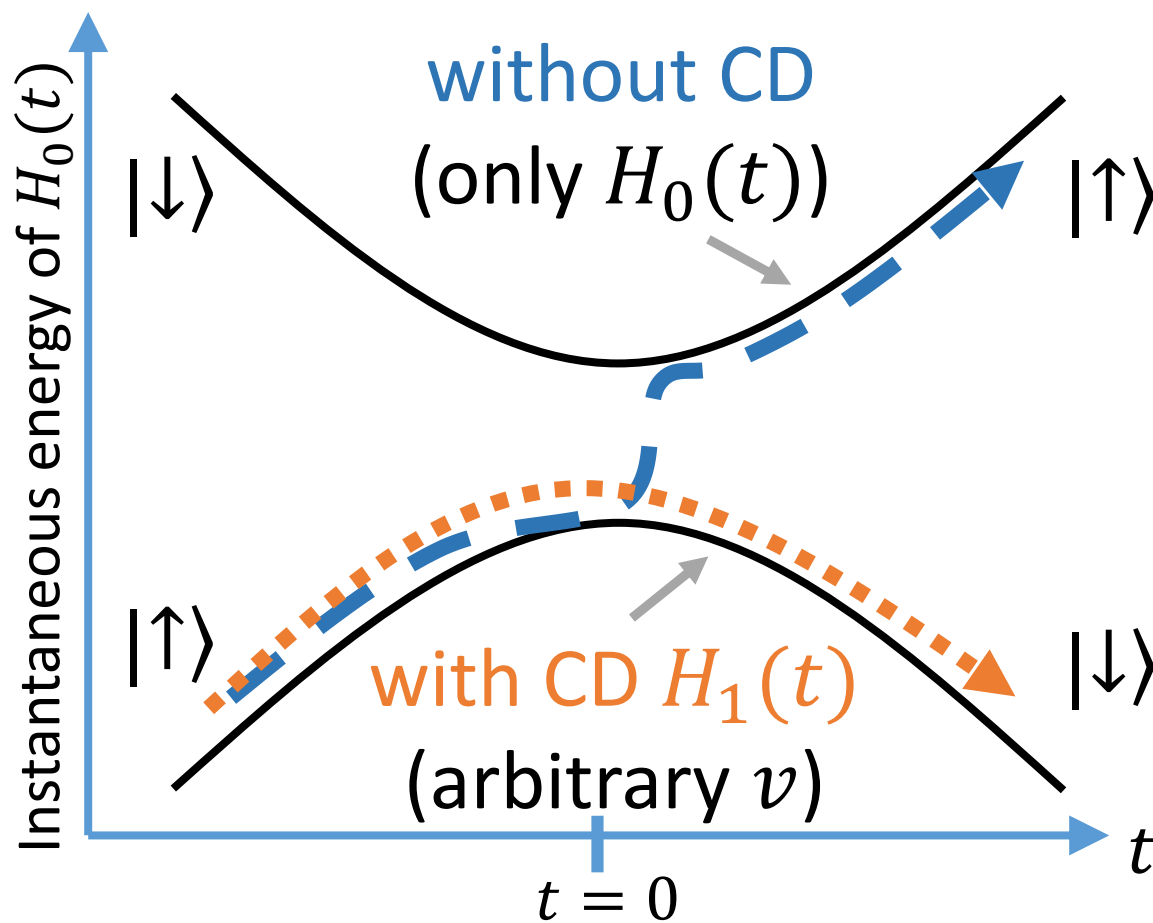
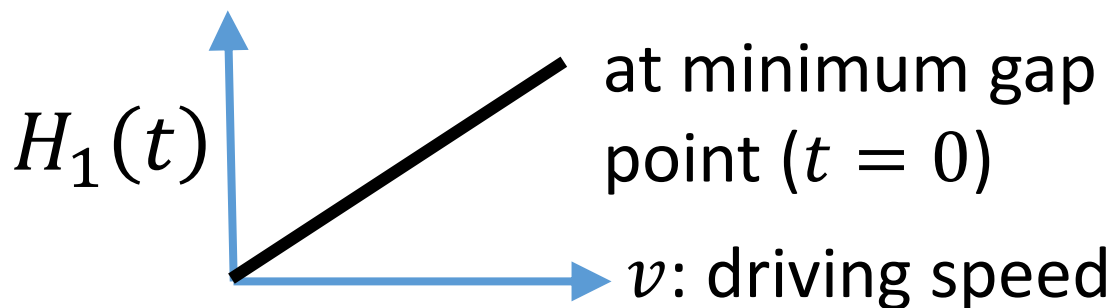
- Shortcuts to adiabaticity

original Hamiltonian

$$H_0(t) = \frac{vt}{2} \sigma_z + \frac{\Delta_0}{2} \sigma_x$$

add *Counter-Diabatic (CD) field*

$$H_1(t) = \frac{\Delta_0 v / 2}{\Delta_0^2 + v^2 t^2} \sigma_y$$



Counter-Diabatic field: 一般の場合

Task: find $\hat{H}_{CD} = \hat{H}_0 + \hat{H}_1$ which generates the *adiabatic* time-evolution

$$\hat{U}_{CD}(t, 0) = \sum_n e^{-\frac{i}{\hbar} \int_0^t dt' \epsilon_n(\lambda_{t'})} e^{i\theta_n} |n(\lambda_t)\rangle \langle n(\lambda_0)|$$

$|n\rangle$: energy eigenstates of $\hat{H}_0(\lambda_t)$

$i\theta_n = -\langle n|\partial_t n\rangle$: geometric phase

$$\begin{aligned} \hat{H}_{CD}(\lambda_t) &= i\hbar \left[\partial_t \hat{U}_{CD}(t, 0) \right] \hat{U}_{CD}^\dagger(t, 0) \\ &= \underbrace{\sum_n \epsilon_n(\lambda_t) |n\rangle \langle n|}_{\text{original Hamiltonian } \hat{H}_0(\lambda_t)} + \underbrace{i\hbar \sum_n \left[|\partial_t n\rangle \langle n| + i\theta_n |n\rangle \langle n| \right]}_{\text{Counter-Diabatic field } \hat{H}_1(\lambda_t)} \end{aligned}$$

original Hamiltonian $\hat{H}_0(\lambda_t)$

Counter-Diabatic field $\hat{H}_1(\lambda_t)$

Quantum adiabaticity in finite time

- Shortcuts to adiabaticity

Shortcuts to adiabaticity

- Transitionless quantum driving
- Counterdiabatic driving (CD)

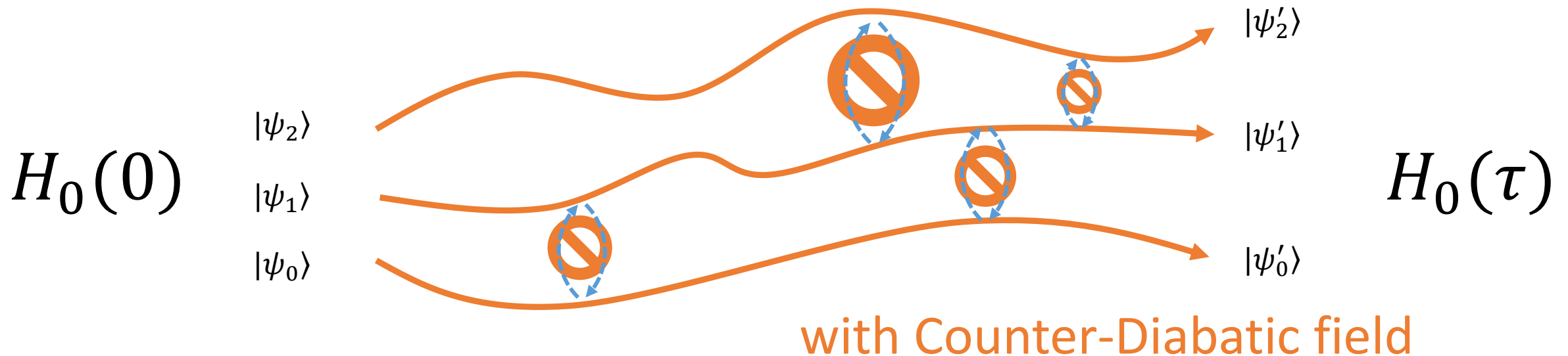
Demirplak and Rice, J. Phys. Chem. A **107**, 9937 (2003)

Berry, J. Phys. A: Math. Theor. **42**, 365303 (2009)

Chen, *et. al.*, PRL **104**, 063002 (2010)

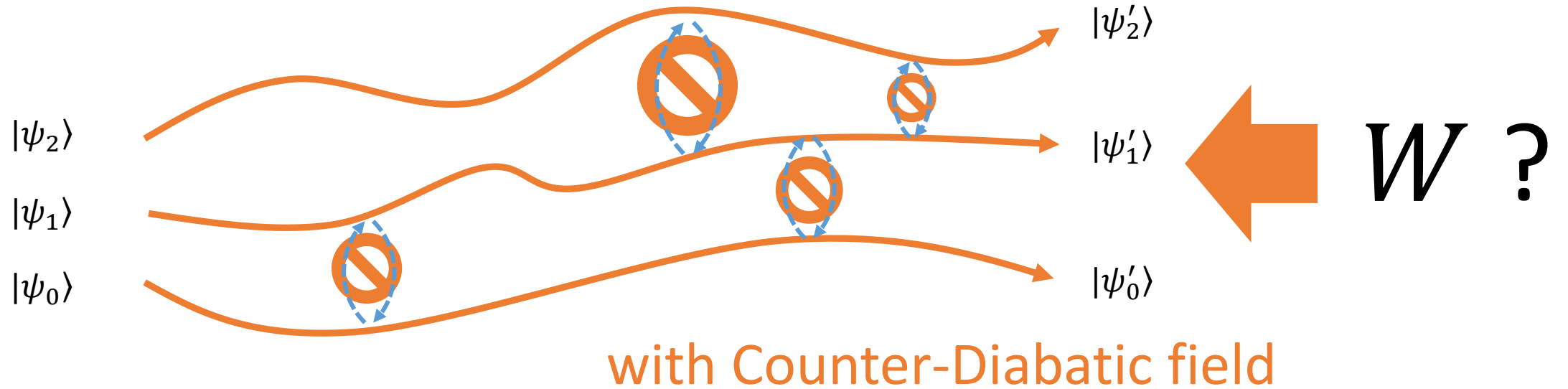
del Campo, PRL **111**, 100502 (2013)

✓有限時間で量子断熱時間発展をショートカットできる



Aim of this study

断熱時間発展をショートカットしたときに余分に必要な仕事?



Setup: $\hat{H}_{\text{CD}}(\lambda_t) = \hat{H}_0(\lambda_t) + \hat{H}_1(\lambda_t)$

counterdiabatic field is switched off at the initial and final stages

$$\hat{H}_1(\lambda_0) = \hat{H}_1(\lambda_f) = 0$$

Counter-Diabatic driving を行った時の仕事

- Two-point energy measurements

$$W_{n \rightarrow k} = E_k(t) - E_n(0)$$

initial energy

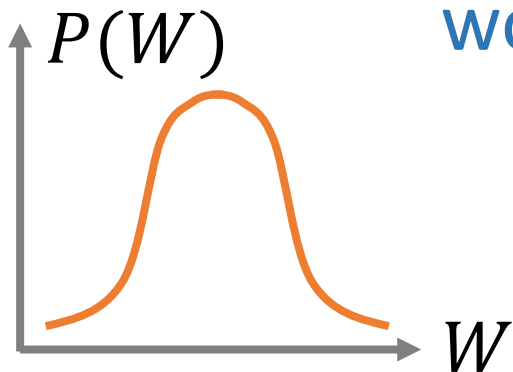
eigenenergy of $H_{\text{CD}} = H_0 + H_1$
at time t

transition probability

$$p_{n \rightarrow k}^t = |\langle E_k(t) | U_t | E_n(0) \rangle|^2$$

initial Gibbs distribution

$$p_n = \frac{e^{-\beta E_n(0)}}{Z(0)}$$




work probability distribution

$$P[W(t)]_{\text{CD}} = \sum_{n,k} p_n p_{n \rightarrow k}^t \delta(W(t) - W_{n \rightarrow k})$$

adiabatic driving を行ったときの仕事

Counter-Diabatic driving

$$P[W(t)]_{\text{CD}} = \sum_{n,k} p_n p_{n \rightarrow k}^t \delta(W(t) - W_{n \rightarrow k})$$


adiabatic driving ($H_{\text{CD}} \rightarrow H_0$):

eigenenergy of $H_{\text{CD}} = H_0 + \cancel{H_1}$

• no excitations: $p_{n \rightarrow k}^t \rightarrow \delta_{n,k}$

• control field vanishes: $E_k(t) \rightarrow \epsilon_k(t)$

eigenenergy of H_0

$$P[W(t)]_{\text{ad}} = \sum_n p_n \delta(W(t) - [\epsilon_n(t) - \epsilon_n(0)])$$

Main result 1: Work fluctuations under CD

- 仕事の期待値は変化しない

$$\langle W(t) \rangle_{\text{CD}} = \langle W(t) \rangle_{\text{ad}}$$

任意の時間で成立：

$$0 \leq t \leq \tau$$

- 仕事ゆらぎはエンハンスされる

$$\text{Var}[W(t)]_{\text{CD}} = \text{Var}[W(t)]_{\text{ad}} + \hbar^2 \sum_n p_n g_{\text{FS}}^{(n)}$$

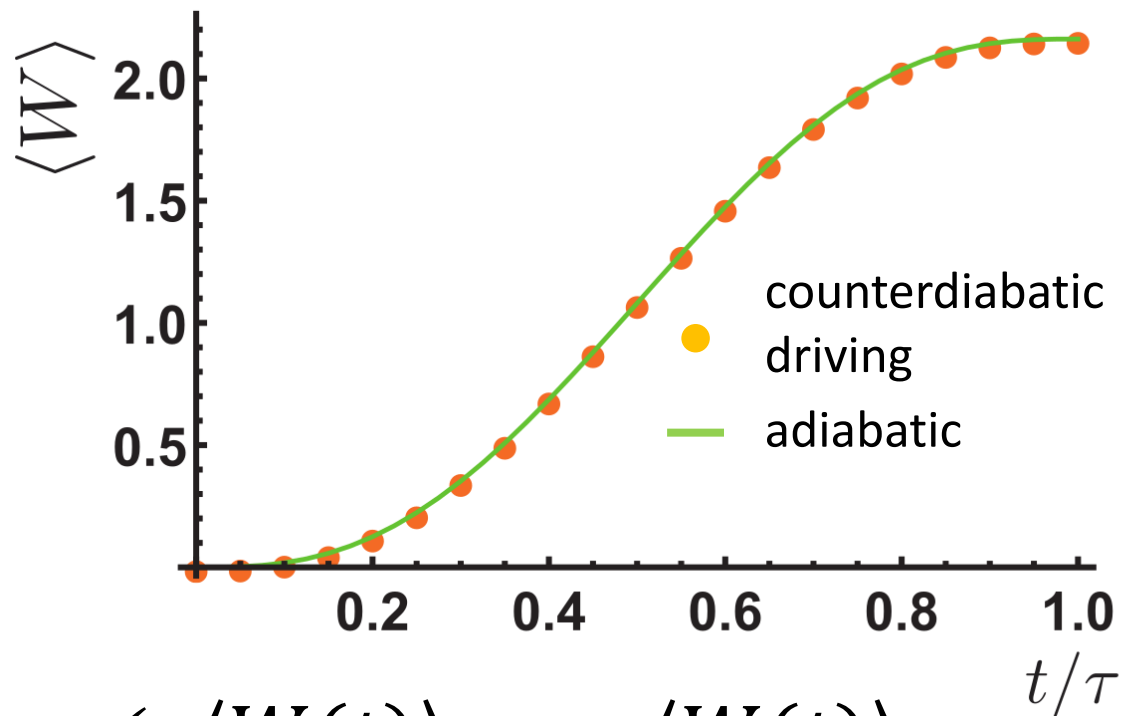
Fubini-Study metric

$$g_{\text{FS}}^{(n)} = \langle \partial_t \epsilon_n(t) | (1 - |\epsilon_n(t)\rangle\langle \epsilon_n(t)|) | \partial_t \epsilon_n(t) \rangle$$

H_0 の固有状態

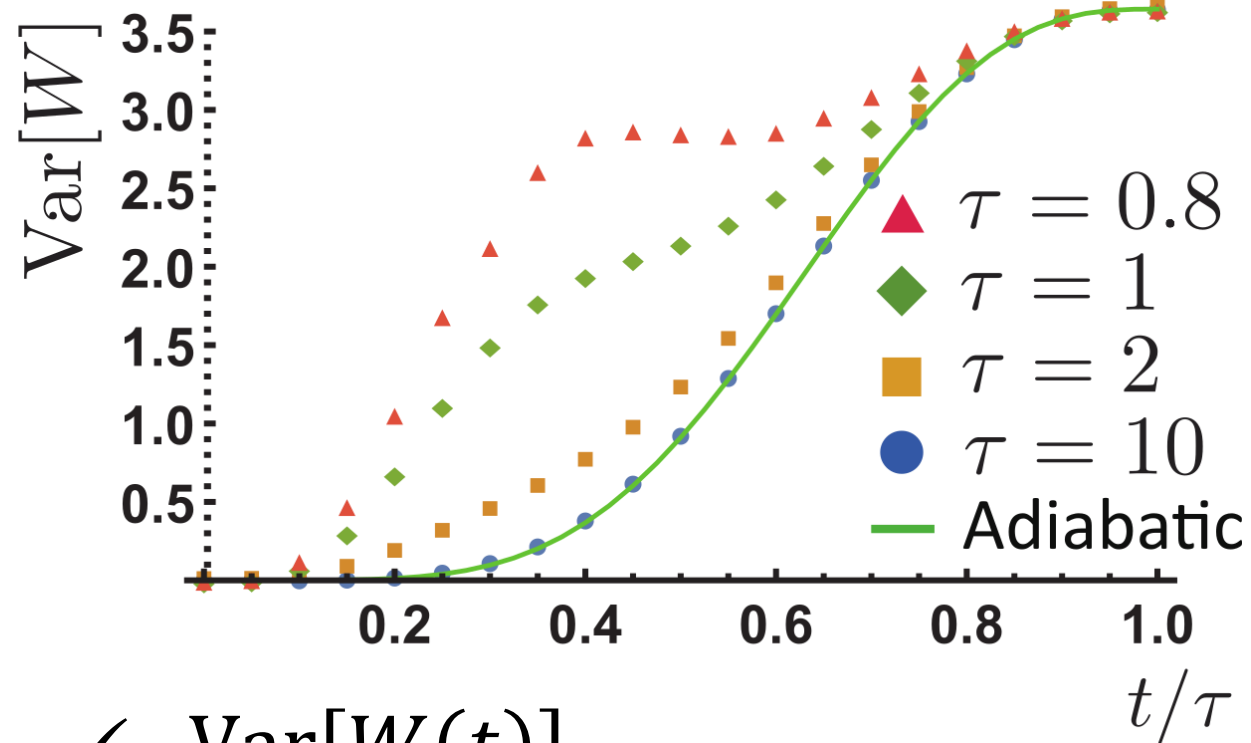
具体例：調和振動子

- work expectation value



✓ $\langle W(t) \rangle_{\text{CD}} = \langle W(t) \rangle_{\text{ad}}$

- work variance



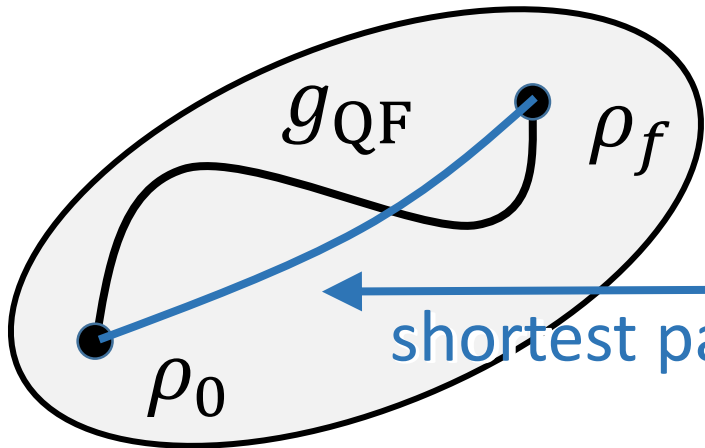
✓ $\text{Var}[W(t)]_{\text{CD}}$

$$= \text{Var}[W(t)]_{\text{ad}} + \hbar^2 \sum_n p_n g_{\text{FS}}^{(n)}$$

Work fluctuations and minimum length

- quantum Fisher information との関係

$$\sum_n p_n g_{\text{FS}}^{(n)} \geq g_{\text{QF}}$$



Bures length:

$$\mathcal{L}(\rho_0, \rho_f) = \arccos \left(\text{Tr}[(\sqrt{\rho_0} \rho_f \sqrt{\rho_0})^{1/2}] \right)$$

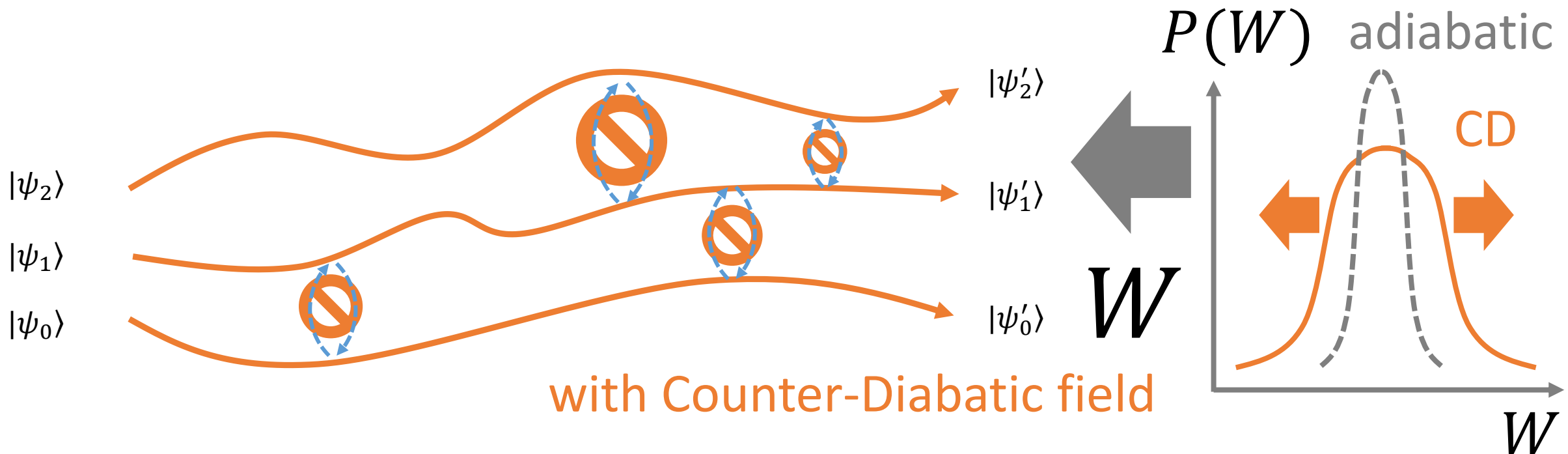
仕事ゆらぎの差分 $(\delta\Delta W)^2 = \text{Var}[W(t)]_{\text{CD}} - \text{Var}[W(t)]_{\text{ad}}$ と最小距離

$$\frac{\tau}{\hbar} \langle \delta\Delta W \rangle_\tau := \frac{\tau}{\hbar} \cdot \frac{1}{\tau} \int_0^\tau \delta\Delta W dt = \int_0^\tau \sqrt{\sum_n p_n g_{\text{FS}}^{(n)}} dt \geq \mathcal{L}(\rho_0, \rho_\tau)$$

Main result 2: Time-work uncertainty relation

operation time $\tau \leftrightarrow$ work fluctuations

$$\tau \geq \frac{\hbar \mathcal{L}(\rho_0, \rho_f)}{\langle \delta \Delta W \rangle_\tau} \geq \frac{\hbar \mathcal{L}(\rho_0, \rho_f)}{\langle \Delta E_{CD} \rangle_\tau}$$



Conclusion

quantum speed limit

$$\tau \geq \tau_{\text{QSL}} = \max \left\{ \frac{\pi \hbar}{2 \Delta H}, \frac{\pi \hbar}{2 \langle H \rangle - E_g} \right\}$$

- 幾何学的手法との関係

$$\tau \geq \tau_{\text{QSL}} = \frac{\mathcal{L}}{\langle \sqrt{g} \rangle_\tau} = \frac{\mathcal{L}}{\langle v \rangle_\tau}$$

- 応用: Markov jump processes, shortcuts to adiabaticity

